

PACS: 61.16.Fk, 81.40.Vw, 68.55.Ln

В.А. Ивченко<sup>1</sup>, Б.М. Эфрос<sup>2</sup>, Е.В. Попова<sup>1</sup>,  
Н.Б. Эфрос<sup>2</sup>, Л.В. Лоладзе<sup>2</sup>

## ПОЛЕВАЯ ИОННАЯ МИКРОСКОПИЯ МЕТАЛЛОВ ПРИ ИНТЕНСИВНОМ ВНЕШНEM ВОЗДЕЙСТВИИ

<sup>1</sup>Институт электрофизики УрО РАН  
Россия, 620016, г. Екатеринбург, ул. Амундсена, 106

<sup>2</sup>Донецкий физико-технический институт им. А.А. Галкина НАН Украины  
83114, г. Донецк, ул. Р. Люксембург, 72

Статья поступила в редакцию 9 июля 2003 года

*Представлены результаты оригинальных исследований изменений атомно-пространственной структуры различных металлов после интенсивных внешних воздействий (ИВВ), выполненные с помощью метода полевой ионной микроскопии (ПИМ).*

### **Введение**

Повышенный интерес в последние годы к ультрамелкозернистым (УМЗ) материалам обусловлен тем, что их физико-механические свойства существенно отличаются от таковых у обычных крупнозернистых [1–3]. К УМЗ-материалам относятся нано- (НК) (средний размер зерен 10–100 nm) и субмикрокристаллические (СМК) (100–200 nm). Большая доля границ зерен и их особое, неравновесное, состояние в этих материалах [4] позволяют формировать заранее заданные и рекордные их свойства.

УМЗ-материалы получают порошковыми методами, методами шарового размола, быстрого охлаждения расплава, интенсивных пластических деформаций (ИПД). С помощью последних [3,5,6] удается изготавливать образцы, лишенные пор и загрязнений, что облегчает изучение их дефектной структуры. Представляет интерес экспериментальное исследование радиационных дефектов в облученных материалах в аспекте деформационного упрочнения в том случае, когда в последних не происходят радиационно-стимулированные фазовые превращения, а повышенная плотность имплантационных дефектов может приводить к существенному изменению структурного состояния и свойств.

В работе для изучения атомно-пространственного строения дефектов различных металлов после ИВВ использовался метод ПИМ. Его потенциальные возможности позволяют исследовать реальное строение кристаллической решетки твердых тел на уровне отдельных атомов, работать с атомно-чистой

поверхностью при криогенных температурах и в то же время анализировать атомную структуру объекта в объеме путем управляемого последовательного удаления поверхностных атомов электрическим полем.

Цель работы заключалась не только в сопоставлении параметров дефектной структуры металлов на атомном уровне, но и в анализе вида того воздействия, который вызвал появление именно таких нарушений кристаллической решетки материала.

### **Материалы и методы исследования**

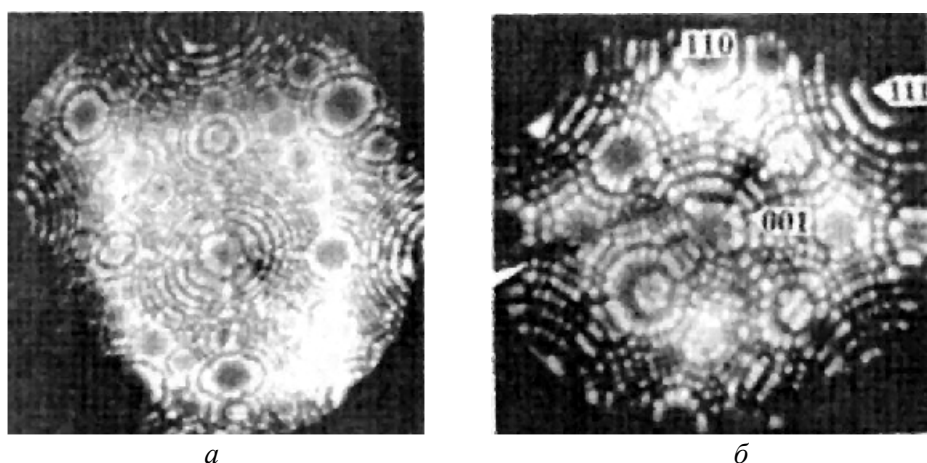
Объектами исследования служили металлические поликристаллические иридий, вольфрам, никель и медь чистотой в пределах 99.95–99.99% (исходный размер зерен 20–50  $\mu\text{m}$ ).

Атомное строение дефектов (преимущественно планарных) различной  $n$ -мерности в данных металлах изучали после различных ИВВ (ИПД и облучение). Для формирования СМК-структур в иридии, вольфраме и меди использовали ИПД методом кручения (максимальная логарифмическая деформация  $e \approx 7$ ) под квазигидростатическим давлением на установке типа наковален Бриджмена [5]. Облучение образцов иридия осуществляли ионами аргона с энергией  $E = 20\text{--}24 \text{ keV}$ , при этом доза облучения составляла  $D = 10^{18} \text{ ion/cm}^2$ , а плотность тока  $j = 300 \text{ } \mu\text{A/cm}^2$ . ИПД никеля осуществляли методом пакетной гидроэкструзии (ПГЭ) (максимальная логарифмическая деформация  $e \approx 12$ ) при комнатной температуре [7].

Предназначенные для исследования методом ПИМ образцы металлов готовили в виде игольчатых эмиттеров с радиусом кривизны при вершине 30–50 nm путем электрохимической полировки заготовок, заранее подвергнутых различным ИВВ. Для исследования методом ПИМ использовали полевой ионный микроскоп конструкции ИЭФ УрО РАН, снабженный микроканальным ионно-электронным конвертером, усиливающим яркость микрокартин поверхности в  $10^4$  раз. При этом хладоагентом служил жидкий азот ( $T = 78 \text{ K}$ ), а в качестве изображающего газа использовали спектрально чистый неон [8].

### **Результаты эксперимента и обсуждение**

Предварительно аттестованный в полевом ионном микроскопе чистый иридий (исходное состояние) перед ИВВ имел атомно-гладкую поверхность, приготовленную *in situ* полевым испарением поверхностных атомов. Ионные изображения аттестуемых полевых эмиттеров (образцы иридия) фиксировали правильную кольцевую картину, характерную для монокристаллов (рис. 1,*a*), свидетельствующую об отсутствии в теле зерна структурных дефектов на атомном уровне.

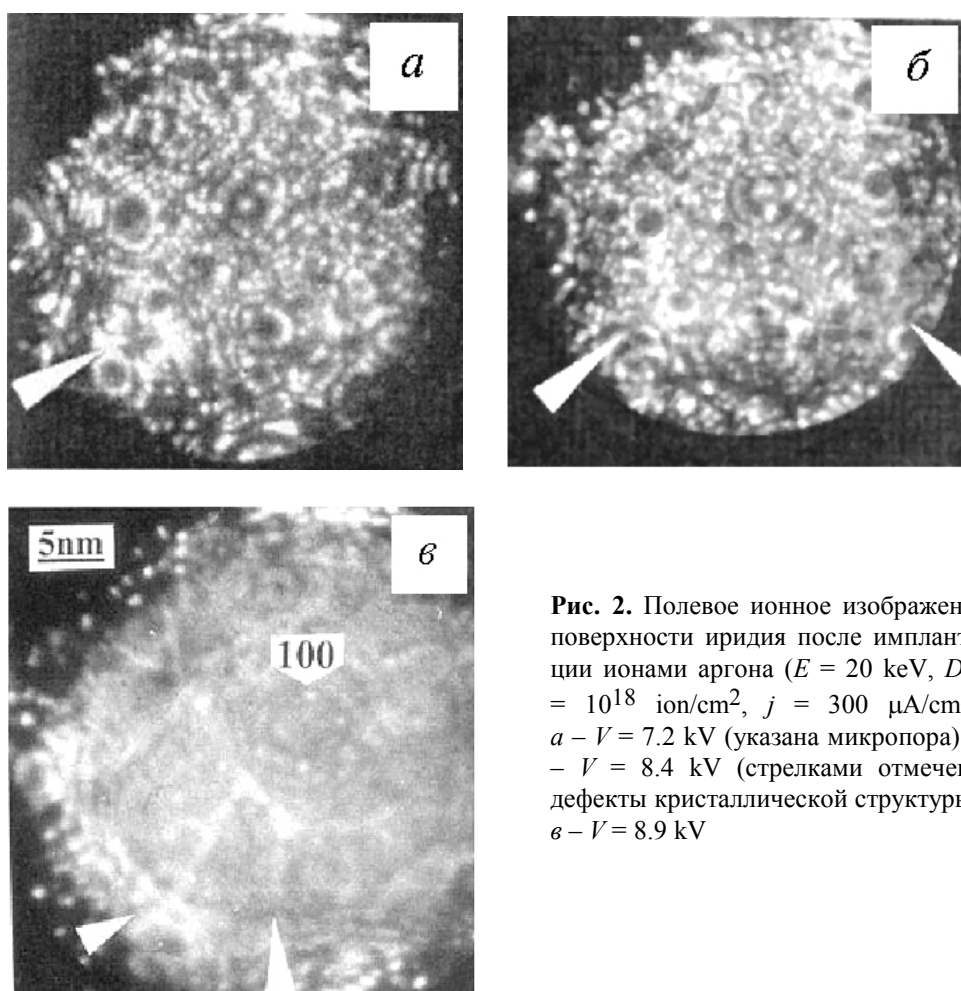


**Рис. 1.** Полевое ионное изображение поверхности иридия ( $V = 10$  кВ): *а* – исходное состояние; *б* – СМК-состояние после ИПД ( $e \approx 6$ ) (стрелками указаны границы зерен)

После облучения имплантированные образцы вновь помещали в микроскоп и анализировали состояние металла в приповерхностном объеме, регистрируя видео- или фотокамерой полевые ионные изображения поверхности при контролируемом удалении (испарении) одного атомного слоя за другим. В результате в имплантированном чистом иридии обнаружили высокую плотность точечных, линейных и объемных структурных дефектов (рис. 2).

Сравнительный анализ структурных дефектов, обнаруженных в иридии после ИПД ( $e \approx 6$ ) (см. рис. 1,*б*) и облучения (рис. 2,*а–в*), показал существенную разницу их строения в зависимости от вида ИВВ. Так, после ИПД обнаружено формирование деформационных границ зерен, размер которых  $d_g \approx 20\text{--}30$  нм, при этом в теле зерен практически отсутствовали дефекты кристаллической структуры (см. рис. 1,*б*). Напротив, в облученном иридии (см. рис. 2,*а–в*) выявлена субзеренная ( $d_{sg} \approx 3\text{--}5$  нм) структура. Угловая разориентация  $\omega$  субзерен составляла  $0.5\text{--}1^\circ$ . Причем в их теле наблюдались различные дефекты структуры, вплоть до микропор (рис. 2,*а*). Ширина граничной области в иридии после ИВВ была порядка межатомного расстояния, как и в термически обработанных металлах и сплавах [9].

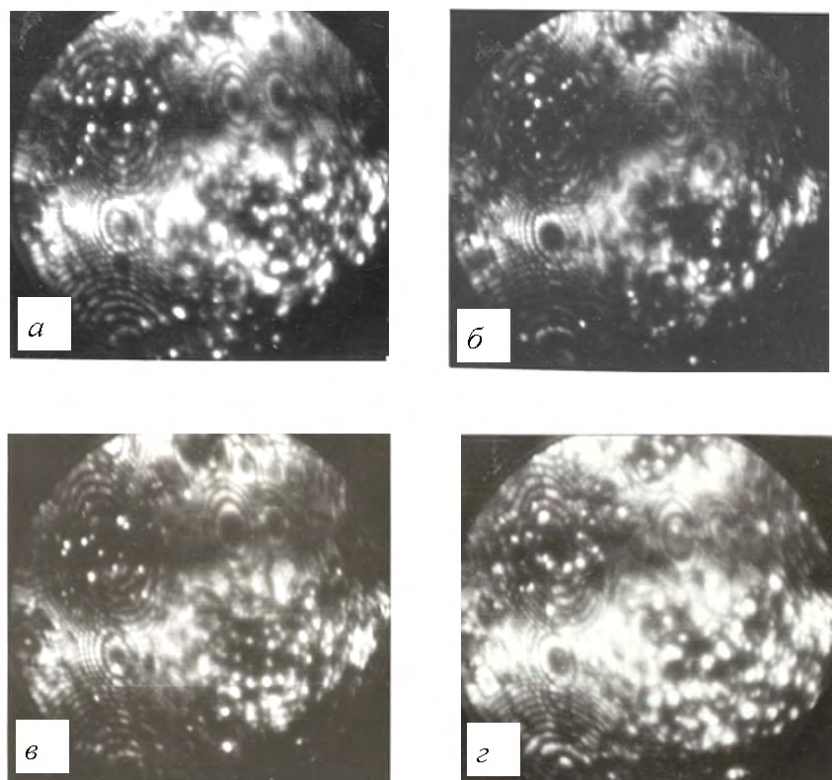
Ионный контраст субзеренной структуры имплантированного иридия выявляли путем небольшого повышения напряжения на эмиттере-образце (разница относительно напряжения наилучшего изображения составляла около 500 В), но при этом полевое испарение поверхностных атомов еще не наблюдали. Контраст самих границ легко обнаруживали в виде более ярких линий, ограничивающих субзерна (рис. 2,*в*). Причем наблюдали полное соответствие разрыва кольцевой картины (рис. 2,*б*) с контрастом границ субзерен структуры (рис. 2,*в*) (обе микрофотографии представляют одну и ту же поверхность иридия, но вторая получена при повышении напряжения



**Рис. 2.** Полевое ионное изображение поверхности иридия после имплантации ионами аргона ( $E = 20$  keV,  $D = 10^{18}$  ion/cm $^2$ ,  $j = 300$   $\mu$ A/cm $^2$ ):  $a - V = 7.2$  kV (указана микропора);  $b - V = 8.4$  kV (стрелками отмечены дефекты кристаллической структуры);  $c - V = 8.9$  kV

на образце на 500 В). Необходимо отметить, что именно разрыв в кольцевой картине ионного контраста показывает нарушения совершенной структуры кристалла и определяет контраст от тех или иных дефектов, возникающих в металле после ИВВ.

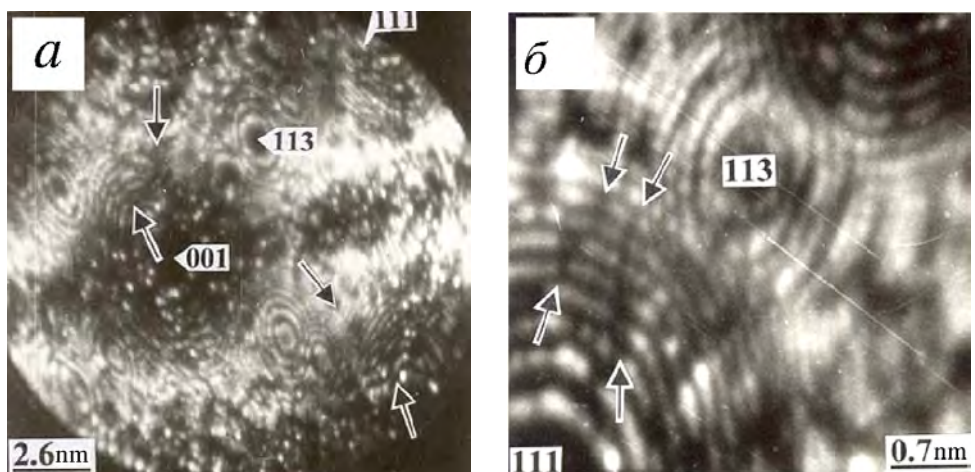
Анализ приповерхностного объема иридия, имплантированного ионами аргона в процессе последовательного управляемого удаления поверхностных атомов, показал, что обнаруженная субструктура сохраняется на расстоянии до 50 nm от облученной поверхности. Известно [10], что проективный пробег ионов аргона в металлах, в частности в иридии, при используемых режимах имплантации составляет не более 10 nm. Отсюда можно предположить, что наблюдаемые деформационные эффекты обусловлены, по-видимому, ударным воздействием ионного пучка, распространением в материале упругих волн и их взаимодействием с возникающими в процессе облучения дефектами решетки и с внедренными ионами аргона. Кроме того, в процессе образования дефектов определенную роль может играть высокая плотность имплантационного тока.



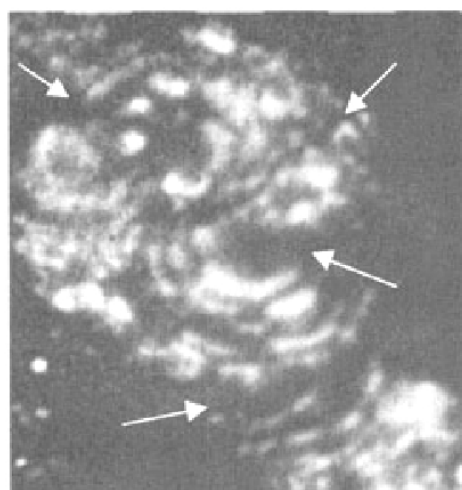
**Рис. 3.** Полевое ионное изображение поверхности СМК-никеля после ИПД ( $e \approx 12$ ) в зависимости от количества атомных слоев, испаренных с полюса (001) ( $V = 12$  кВ): *a* – 557 слоя; *б* – 587; *в* – 622; *г* – 632

ИПД методом ПГЭ ( $e \approx 12$ ) крупнокристаллического никеля приводит к формированию СМК-состояния ( $d_g \approx 100$  nm) [11]. На рис. 3 представлены ионные изображения участков поверхности образцов СМК-никеля в зависимости от количества удаленных слоев поверхностных атомов при контролируемом испарении. Это адекватно изменению СМК-структуры по толщине образца никеля в исследуемом приповерхностном объеме, что позволяет отчетливо зафиксировать границы ультрадисперсных субзерен, которые и составляют субструктуру отдельных зерен СМК-никеля. При этом размеры обнаруженных субзерен  $d_{sg}$  оценивались как на поверхности ионной микрокартинки материала, так и в процессе удаления одного атомного слоя за другим, и составляли от 3 до 10 nm (рис. 4). Проведенный анализ показал, что тела субзерен представляют собой совершенные микрокристаллиты, которые практически не разориентированы друг относительно друга. В процессе изучения атомной структуры СМК-никеля на границах раздела субзерен наблюдались выходы отдельных дислокаций. Ширина граничной области составляла расстояние, сравнимое с межатомным.

Полученные результаты в первом приближении идентичны результатам исследования атомной структуры СМК-вольфрама после ИПД ( $e \approx 7$ ,  $d_g \approx$



**Рис. 4.** Полевое ионное изображение поверхности СМК-никеля после ИПД ( $e \approx 12$ ): *а* – после удаления 73 атомных слоев (26 nm,  $V = 20$  kV); *б* – 662 атомных слоев (240 nm,  $V = 12.5$  kV) (стрелками указаны границы ультрадисперсных субзерен)



**Рис. 5.** Полевое ионное изображение поверхности СМК-меди после ИПД ( $e \approx 7$ ,  $T_{def} \approx 400^\circ\text{C}$ ,  $V = 15$  kV) (стрелками указаны границы ультрадисперсных субзерен)

$\approx 100$  nm) [12]. Анализ полевого ионного изображения участка поверхности СМК-вольфрама с межзеренной границей показал, что ее ширина 0.6–0.8 nm. Необходимо отметить, что в исходном (недеформированном) крупнокристаллическом вольфраме ширина границы составляет 0.3–0.4 nm [12].

Формирование ультрадисперсных субзерен обнаружено также и в СМК-меди после ИПД методом кручения ( $T_{def} \approx 400^\circ\text{C}$ ,  $e \approx 7$ ) (рис. 5). При этом ионный контраст границ субзерен по сравнению с СМК-никелем (см. рис. 4,*а*) показывает намного более широкую (порядка 3–4 межатомных расстояний) граничную область. Необходимо также отметить, что в данных образцах СМК-меди субзерна ( $d_{sg} \approx 8$ –15 nm) разориентированы друг относительно друга намного сильнее, чем в СМК-никеле.

Таким образом, в процессе изучения атомного строения дефектной структуры металлов методом ПИМ впервые при ИВВ обнаружено формирование

субзерен и различной структуры их граничной области. Природа кристаллического строения границ в существенной мере зависит от типа ИВВ и определяет, в конечном счете, физико-механические свойства исследованных металлов.

### **Выводы**

С помощью прямого метода ПИМ на атомном уровне получено свидетельство наличия высокой плотности дефектов различной *n*-мерности в металлах после ИВВ.

Впервые установлено, что в объеме зерен субмикрокристаллических никеля и меди после ИПД формируется ультрадисперсная ( $d_{sg} \approx 3-15$  nm) субзеренная структура. Установлена дислокационная природа границ наблюдаемых субзерен.

Впервые обнаружено формирование ультрадисперсной субзеренной структуры в поверхностных и приповерхностных объемах иридия в результате имплантации ионов аргона на расстояниях, которые на порядок превышают проективный пробег ионов аргона от облученной поверхности.

1. И.Д. Морохов, Л.И. Трусов, В.И. Лаповок, Физические явления в ультрадисперсных средах, Наука, Москва (1984).
2. В.А. Теплов, В.П. Пилюгин, Г.Г. Талуц, Металлы № 2, 109 (1992).
3. Р.З. Валиев, И.В. Александров, Наноструктурные материалы, полученные интенсивной пластической деформацией, Логос, Москва (2000).
4. О.А. Кайбышев, Р.З. Валиев, Границы зерен и свойства металлов, Металлургия, Москва (1987).
5. Р.И. Кузнецов, В.И. Быков, В.П. Чернышев, В.П. Пилюгин, ПТЭ № 1, 246 (1988).
6. Н.А. Ахмадеев, Р.З. Валиев, В.И. Копылов, Р.Р. Мулюков, Металлы № 5, 96 (1992).
7. С.Г. Сынков, В.Г. Сынков, А.Н. Сапронов, ФТВД 6, № 2, 141 (1996).
8. В.А. Ивченко, В.В. Овчинников, С.О. Чолах, Кристаллографическая идентификация полевых ионных изображений кристаллов, УГТУ-УПИ, Екатеринбург (2001).
9. В.А. Ивченко, в кн.: Радиационная физика твердого тела, МГИЭМ, Москва (2002).
10. А.Ф. Буренков, Ф.Ф. Комаров, М.А. Кумахов, М.М. Темкин, Пространственные распределения энергии, выделенной в каскаде атомных столкновений в твердых телах, Энергоатомиздат, Москва (1985).
11. Б.М. Эфрос, С.Г. Сынков, Е.В. Попова, Т.П. Заика, Л.В. Лоладзе, В.Г. Сынков, В.А. Ивченко, В.Н. Варюхин, ФТВД 12, № 2, 27 (2002).
12. Р.Р. Мулюков, Ю.М. Юмагузин, В.А. Ивченко, Л.Р. Зубаиров, Письма в ЖЭТФ 72, 377 (2000).

*V.A. Ivchenko, B.M. Efros, E.V. Popova, N.B. Efros, L.V. Loladze*

### **FIELD IONIC MICROSCOPY OF METALS UNDER SEVERE EXTERNAL INFLUENCES**

The represented are the results of original studies of changes in the atomic-spatial structure of different metals after severe external influences. The field ionic microscopy method was used.

**Fig. 1.** Field ionic image of iridium surface ( $V = 10$  kV):  $\alpha$  – initial condition;  $\delta$  – submicrocrystalline (SMC) state after severe plastic deformation (SPD) ( $e \approx 6$ ) (the arrows show the grain boundaries)

**Fig. 2.** Field ionic image of iridium surface after the argon ion implantation ( $E = 20$  keV,  $D = 10^{18}$  ion/cm $^2$ ,  $j = 300$   $\mu$ A/cm $^2$ ):  $\alpha$  –  $V = 7.2$  kV (a micropore is shown);  $\delta$  –  $V = 8.4$  kV (crystalline structure defects are shown by arrows);  $\varepsilon$  –  $V = 8.9$  kV

**Fig. 3.** Field ionic image of SMC nickel surface after SPD ( $e \approx 12$ ) depending on the quantity of atomic layers evaporated from pole (001) ( $V = 12$  kV):  $\alpha$  – 557 layers;  $\delta$  – 587;  $\varepsilon$  – 622;  $\varepsilon$  – 632

**Fig. 4.** Field ionic image of SMC nickel surface after SPD ( $e \approx 12$ ):  $\alpha$  – after removal of 73 atomic layers (26 nm,  $V = 20$  kV);  $\delta$  – 662 atomic layers (240 nm,  $V = 12.5$  kV) (the arrows show the boundaries of ultradisperse subgrains)

**Fig. 5.** Field ionic image of SMC copper surface after SPD ( $e \approx 7$ ,  $T_{\text{def}} \approx 400^\circ\text{C}$ ,  $V = 15$  kV) (the arrows show the boundaries of ultradisperse subgrains)